

# 段波の伝播速度に関する実験的研究

日本大学工学部 正員 藤田 豊  
日本大学工学部 正員 安田 穎輔

まえがき 段波現象を解明することは、河川工学や砂防工学における治水上極めて重要な課題である。この種の研究は19世紀末の Ritter による Dam break wave のに関する理論的研究に始まり今日まで数多くの研究者によって行なわれてきるが、発生条件などによって現象が相違することや非線形による解析的取扱いにも限界があるなど現象の解明は未だ充分とは言えないようであり、今後さらに多くの研究が行なわれる必要があると考えられる。本報では、理想化(モデル化)された段波に対する理論式が実際の段波に対してどの程度適用できるのかを実験的に確かめ、また、適用の際の問題点( $\bar{h}_2$ の定め方、補正係数の導入)などについて検討した。

## 1. 実験装置および測定方法

水路本体は幅0.2m、高さ0.3m、長さ10.5mの水路部と幅0.2m、高さ0.52m、長さ2mの貯水槽部から構成される。透明アクリル樹脂製の長方形一様断面水路( $\lambda = 0$ )であり、片側面には $2\text{cm} \times 1\text{cm}$ の細かくメッシュを刻んである。また、下端には取りはずし可能なクリスト(6種類)を設けた。段波発生装置は水路と貯水槽間に設けた鉄板製の引揚げ式ゲートである。段波はゲートと滑車を通して連結した車輪を自由落下させることによって発生される。測定装置は3台のドライブカメラ(同時撮影用としてパルス発信器使用)と16ミリカメラを用いた。実験の貯水槽水深を50cmに定め、初期水深 $h_1$ を7種類に変えて行なった。段波の水深等の測定は手がかり読み取った。

## 2. 発生条件

本研究では、上流側ゲートの急閉放操作による正段波の問題に焦点を絞り、上述のような貯水槽水深を50cmに固定し、下流水深 $h_2$ を7種類に変えて実験を行なった。表-1はゲートの平均引揚げ速度など段波の発生条件を示しており、閉放操作はほぼ一様であった。図-1は $Q_1 = 403 \text{ cm}^3/\text{sec}$ ,  $h_1 = 2.60 \text{ cm}$ の場合の段波発生時の流況を示したものであり、時間経過に伴なって進行する波面形状を示している。これより、初期水深 $h_1$ が大きい場合は特に波面形状の乱れも顕著であったが流下とともにほぼ安定した形状に移行した。

## 3. $\bar{h}_2$ , $L_0$

図-2に示したように $\bar{h}_2$ は撮影したフィルムより先端部の巻込み気泡の状態や不連続波面形状の曲率等を考慮して決める。 $L_0$ は各コマ毎に先端部から $h_{\max}$ の点まで区分求積し最大のものを選び他のコマからも等面積を先端部から除去した後のゲートからの距離であり、これを中枢部先端(仮定)とした。また $L_0$ 点の速度を中枢部伝播速度 $W$ とした。 $\bar{h}_2$ は $L_0$ 点より背面を $10\text{cm}, 20\text{cm}, \dots$ でずらす平均水深を求めてその値がほぼ一定になる点で $\bar{h}_2$ と定めた。

## 4. 結果および考察

写真-1は初期条件 $h_1 = 10.9 \text{ cm}$ ,  $Q_1 = 138 \text{ cm}^3/\text{sec}$ による

ゲート平均引揚げ速度	1.357~1.500 m/s
ゲートが水面と離れるまでの引揚げ距離	3.6~40 cm
ゲートが水面と離れるまでの所要時間	0.281~0.298 sec
水深差	3.91~49.3 cm
貯留量	0.2 m <sup>3</sup>

表-1 段波の発生条件

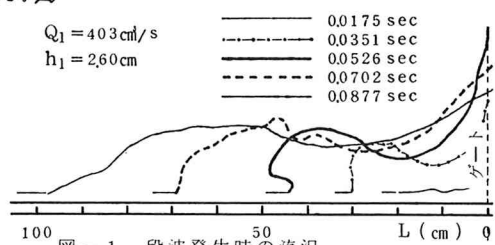


図-1 段波発生時の流況

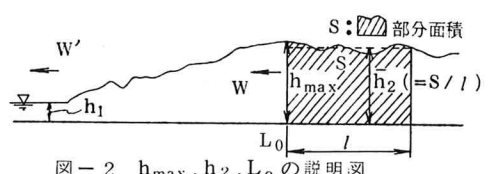
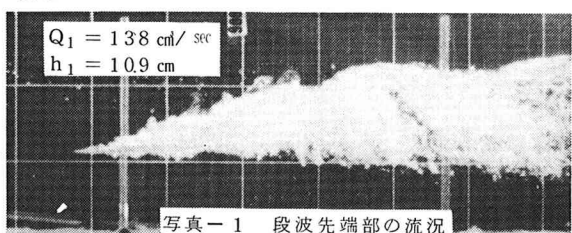


図-2  $h_{\max}$ ,  $h_2$ ,  $L_0$  の説明図



ける段波先端部の9.0m地点を通過した直後の形状をとらえた写真である。本研究では、理想段波式(1)により伝播速度を予測する場合に式中の $\bar{h}_2$ の床面かや補正係数の導入などを検討するため、上述のように $h_{max}$ および $\bar{h}_2$ を決定し、これらと実測伝播速度より逆算して得られた $\bar{h}_2$ との比をそれぞれ $k_1 = \bar{h}_2/h_{max}$   
 $k_2 = \bar{h}_2/\bar{h}_1$ として求めた。

$$W = U_1 + \sqrt{gh_1} \left\{ \frac{1}{2} \frac{\bar{h}_2}{h_1} \left( \frac{\bar{h}_2}{h_1} + 1 \right) \right\}^{\frac{1}{2}} \quad (1)$$

図-3は4.0mまでの $h_{max}$ と $k_1$ の関係、 $\bar{h}_2$ と $\bar{h}_1$ の関係であり、実線は最小自乗法によって導いた実験式(2)、(3)である。これから図より、 $k_1$ 、 $k_2$ ともそれまでの $h_{max}$ 、 $\bar{h}_2$ にかかわらずほぼ一定の値を示すことが認められる。しかし、両者を比較すると $k_1$ が $k_2$ よりバラツキが顕著である。これは $h_{max}$ や先端部Wの変動が大きいことによる影響と考えられる。図-4は時間Tと伝播速度Wとの関係であり、細線と太線はそれぞれ先端部のWと中枢部のWであり、このより先端部は進行相伴なて周期的に巻込みやこり現象などを繰り返すために変動幅がかなり大きいことが分る。一方、中枢部Wは先端部波面の乱れの領域を除去した地点のゲートからの距離Lの遠度であるので比較的安定している。したがって、以降の伝播速度の実測値としては中枢部のものを用いることとする。図-6は理想段波式(1)の $\bar{h}_2$ としてそれまでの $h_{max}$ 、 $\bar{h}_1$ 、 $k_1 h_{max}$ 、 $k_2 \bar{h}_2$ を用いて計算したWと実測値とを比較した図である。これより、 $k_1 \bar{h}_2$ 、 $k_1 h_{max}$ を用いて計算したWが実測値に比較的良く一致することがわかる。

図-7は波高 $h_0$ と流下距離Lとの関係であり、破線は $h_0 = h_{max} - h_1$ 、實線は $h_0 = \bar{h}_2 - h_1$ で表わした波高である。両者とも時間経過に伴なって波高が減衰する傾向を示し、特に $h_{max}$ についてはその傾向が顕著であり、徐々に波形、波高とも安定した状態に移行するものと考えられる。

## 5.まとめ

本研究において得られた結果をまとめると次のとおりである。

- (1) 段波発生時の波形の違いなどは初期水深 $h_1$ の大小によつていくらか相違するもののある程度流下すれば一様な形状に移行するものと考えられる。
- (2) 実測値 $h_{max}$ ならびに $\bar{h}_2$ は伝播速度W、Wから逆算された $\bar{h}_2$ と相対関係が認められる。
- (3)  $\bar{h}_1$ および $\bar{h}_2$ はほぼ一定となり実験式は次のとおりである。

$$k_1 = 0.9297 + 0.00085 h_{max} \quad (2)$$

$$k_2 = 0.9490 + 0.00090 \bar{h}_2 \quad (3)$$

- (4) 理想段波式(1)の $\bar{h}_2$ として $\bar{h}_2$ ならびに $k_1 h_{max}$ を用いれば伝播速度を比較的正確に予測できるものと考えられる。

